

## نانوساختارهای تهیه شده از کانی طبیعی ایلمنیت برای تخریب سریع آلاینده دارویی فورازولیدون با فرایند فنتون ناهمگن

حمیده حقیقت<sup>۱\*</sup>، مهرانگیز فتحی‌نیا<sup>۱</sup> و سیاوش فتحی‌نیا<sup>۲</sup>

۱. استادیار گروه شیمی، دانشگاه فرهنگیان، تهران، ایران.

۲. دانشجوی دکتری مهندسی معدن و متالورژی، دانشگاه صنعتی امیرکبیر، تهران، ایران.

دریافت: خرداد ۱۴۰۱ بازنگری: شهریور ۱۴۰۱ پذیرش: شهریور ۱۴۰۱



10.30495/JACR.2022.1959753.2044



20.1001.1.17359937.1401.16.3.5.1

### چکیده

در این مطالعه برای نخستین بار نانوساختارهای ایلمنن-هماتن از کانی طبیعی ایلمنیت با روش لایه‌برداری فیزیکی در فاز مایع در حضور امواج فراصوت برای تخریب سریع آلاینده دارویی فورازولیدون تهیه شدند. هدف از پژوهش حاضر افزایش بازده کاهش آهن (II) در فرایند فنتون ناهمگن با تهیه نانوساختارهای ایلمنن-هماتن از کانی طبیعی آن بود. کارایی حلال‌های آلی مانند دی‌متیل‌فرمamید، N-متیل-۲-پیرولیدین، ایزوپروپیل و تولوئن برای تولید نانوساختارهای مربوط طی فرایند لایه‌برداری در حضور امواج فراصوت و همچنین، کارایی نانوکاتالیست به دست آمده در فرایند فنتون ناهمگن برای تخریب آلاینده دارویی فورازولیدون بررسی شد. مطالعه‌ها نشان داد فرایند لایه‌برداری در فاز مایع با امواج فراصوت در حضور حلال دی‌متیل‌فرمamید موافقیت‌آمیز بوده و شکاف باند نوار بهترتبی از ۳/۵۷ در کانی طبیعی ایلمنیت به ۲/۲ الکترون ولت در نانوکاتالیست تهیه شده از آن کاهش یافته، به گونه‌ای که قابلیت جذب نور و بازده تخریب آلاینده دارویی فورازولیدون تحت نور مرئی افزایش و پس از ۶۰ دقیقه به بیشینه ۹۵/۵٪ رسید. مقادیر بهینه عامل‌های مؤثر برای تخریب فورازولیدون از راه طراحی آزمایش با روش سطح پاسخ (RSM) در نرم‌افزار Design-Expert<sup>7</sup> مدل‌سازی شد. ویژگی‌های فیزیکی و شیمیایی نانوکاتالیست تهیه شده با روش پرتو ایکس (XRD)، میکروسکوپی الکترونی روبشی (SEM)، طیف‌سنجی تفکیک انرژی (EDS)، نقشه‌برداری نقطه‌ای، طیف‌سنجی فروسرخ (XRD)، میکروسکوپی الکترونی روبشی (SEM)، طیف‌سنجی فلورسانس پرتو ایکس (XRF)، BET و طیف‌سنجی بازتابی پخشی (DRS) و تکرارپذیری تبدیل فوریه (FTIR)، طیف‌سنجی فلورسانس پرتو ایکس (XRF)، BET و طیف‌سنجی بازتابی پخشی (DRS) و تکرارپذیری نانوکاتالیست تهیه شده در طول ۶ چرخه از فرایند، بررسی شد. ویژگی‌های کاتالیست به کارگرفته شده در چرخه تکرارپذیری نیز با روش‌های XRD و FTIR بررسی شد.

**واژه‌های کلیدی:** لایه‌برداری فاز مایع، امواج فراصوت، فرایند فنتون ناهمگن، کانی طبیعی ایلمنیت، فورازولیدون

این مشکل‌ها، پژوهشگران را بر آن داشته است که پژوهش بر فرایند فنتون ناهمنگ را آغاز کنند. این فرایند شامل سنتز انواع متفاوت کاتالیست‌ها بر پایه آهن و یا استفاده از کانی‌های طبیعی آهن دارد. [۴]. فرایند فنتون ناهمنگ به عنوان یک فرایند اکسایش پیشرفته مطمئن در حذف انواع آلاینده‌ها در حضور کاتالیست‌های جامد حاوی یون‌های آهن بررسی شد [۳]. در مطالعه‌های اخیر و برای افزایش کارایی کانی‌های آهن دار طبیعی در حذف آلاینده‌های متفاوت از محیط، استفاده از فرایند اصلاح کانی طبیعی آهن دار دیده شده است. برای این منظور روش‌های متفاوتی برای اصلاح سطح و یا کاهش اندازه ذره‌های کانی‌های طبیعی آهن دار در اندازه نانو برای استفاده در فرایند فنتون هتروژن توسعه یافته است [۴ و ۵]. لایه‌برداری در فاز مایع با امواج فراصلوت یکی از فناوری‌های تولید نانومواد در مقیاس صنعتی است. در مقایسه با روش‌های دیگر، این روش ساده، کم هزینه، در دسترس و برای تولید انواع نانومواد کاربرد دارد. با این حال در این روش بازده لایه‌برداری پایین است. برای حل این مشکل از حلال‌های آلی و یا برخی از نمک‌ها مانند سدیم کلرید، سدیم هیدروکسید استفاده می‌شود. در روش لایه‌برداری در فاز مایع در حضور امواج فراصلوت، ماده موردنظر به صورت پودری داخل حلال مشخصی پخش می‌شود [۶ و ۷]. برای دستیابی به تولید انبوو نانومواد در این روش، از تجهیزاتی مانند دستگاه تولیدکننده امواج فراصلوت استفاده می‌شود. برخورد امواج فراصلوت به ماده موردنظر، موجب شکستن نیروی بین لایه‌ها و جداسدن صفحه‌ها یا لایه‌ها از هم می‌شوند. در سال‌های اخیر مطالعه‌های سیار زیادی در زمینه لایه‌ای کردن مواد و یا به عبارتی تبدیل آن‌ها از حالت توده‌ای و میکرو به نانومواد، به دلیل افزایش چشم‌گیر ویژگی فیزیکی و شیمیایی آن‌ها در زمینه‌های متفاوت مانند محیط‌زیست، انرژی و ... صورت گرفته است [۸ تا ۱۲].

## مقدمه

امروزه موضوعات زیست‌محیطی مانند آلودگی آب و هوا اهمیت روز افزونی پیدا کرده است. فرایندهای اکسایش پیشرفته برای از بین بردن یا کاهش مشکل‌های زیست‌محیطی با به کارگیری کاتالیست‌ها و نانوکاتالیست‌های متتنوع توسعه یافته‌اند. مفهوم فرایند اکسایش پیشرفته نخستین بار در سال ۱۹۸۷ به کار برد شد [۱]. ویژگی عمده این فرایندهای اکسایش پیشرفته به گروه‌های بسیاری تقسیم می‌شوند ولی ویژگی مشابه همه آن‌ها تولید رادیکال‌های بسیار فعال هیدروکسیل است. رادیکال‌های هیدروکسیل، اکسیدکننده‌های  $(\text{OH}/\text{H}_2\text{O}) = 2.80 \text{ eV}$  هستند که با ثابت سرعت بالا به ترکیب‌های آلی حمله می‌کنند و در نهایت موجب تخریب مواد آلی و تبدیل آن‌ها به  $\text{CO}_2$  و  $\text{H}_2\text{O}$  و تجزیه معدنی<sup>۱</sup> آن‌ها می‌شوند. این عمل می‌تواند با اکسیدکننده‌های متفاوتی مانند معرف فنتون (هیدروژن پراکسید فعال شده با نمک‌های آهن (II)، ازن و یا کلرین) انجام گیرد. به طور کلی فرایند فنتون به دو صورت همگن و ناهمنگ صورت می‌گیرد. در فرایند فنتون همگن اکسایش مواد آلی با رادیکال‌های هیدروکسیل که از واکنش یون‌های آهن و هیدروژن پراکسید، تولید می‌شود (شیمی فنتون)، انجام می‌گیرد. سادگی واپايش، راهبری آسان آن و کاهش مصرف انرژی به علت ویژگی کاتالیستی یون‌های آهن از مزایای فرایند فنتون همگن است [۲]. ولی با توجه به معایی مانند استفاده از نمک‌های آهن به مقدار زیاد، ضرورت داشتن مرحله خنثی‌سازی، غیرفعال شدن کاتالیست با بعضی معرف‌ها مانند یون‌های فسفات و محدود شدن به  $\text{pH}$  برابر با ۲/۵ تا ۴ کاربرد صنعتی این فرایند را محدود کرده است [۳].

و در نهایت ویژگی بلوری و ویژگی‌های سطح نمونه استفاده شده با روش‌های XRD و FTIR بررسی شد.

### بخش تجربی مواد شیمیایی

حلال‌های آلی شامل دی‌متیل‌فرمامید (DMF)، تولوئن، ایزوپروپیل الکل و *N*-متیل-۲-پیرولیدن و همچنین، هیدروژن پراکسید ۳۰٪ از شرکت مرک آلمان و فورازولیدون به عنوان مدل آلاینده دارویی مقاوم از شرکت سیگما آلدريج خردباری شد. همه مواد شیمیایی بدون خالص‌سازی بیشتر استفاده شدند. محلول مادر فورازولیدون با حل کردن ۰.۵ گرم پودر آن در مقدار معینی آب مقطار تهیه و سپس حجم محلول در یک بالن به ۱۰۰۰ میلی‌لیتر رسانده شد تا محلولی با غلظت ۵۰۰ میلی‌گرم در لیتر تهیه شود.

روش‌های شناسایی و دستگاه‌ها

بازده تخریب فورازولیدون با دستگاه طیف‌نورسنج (Specord 250 Analytik Jena) برایه معادله  $1 = C_e / C_0$  محاسبه شد که در آن  $C_0$  به ترتیب غلظت اولیه آلاینده و غلظت آن در حالت تعادل است.

$$RE\% = [1 - C_e / C_0] \times 100 \quad (1)$$

ساختار بلوری ایلمنیت اولیه و نمونه لاپهبرداری شده با روش پراش پرتو ایکس (XRD) بررسی شد. برای این منظور، دستگاه پراش پرتو ایکس مدل D5000 D ساخت شرکت زیمنس آلمان (SIEMENS D 5000) با ولتاژ شتاب‌دهنده ۴۰ کیلوولت، تابش مس تکرنگ با شدت بالا ( $\lambda = 1.54 \text{ \AA}$ )، و جریان انتشار ۳۰ میلی‌آمپر و طیف‌سنج Bruker-Tensor 27 (FTIR) مدل Mira 3 PEG-SEM Tescan (SEM) برای مطالعه گروه‌های عاملی به کار گرفته شد. میکروسکوپ الکترونی رویشی (SEM) مدل ۱۴۰۱ پاییز، ساخت چک، مجهز به سامانه EDS و نقشه‌برداری نقطه‌ای برای ریخت‌شناسی ایلمنیت اولیه و نانوساختارهای بدست‌آمده و

در کار پژوهشی حاضر، تهیه نانوساختارهای ایلمنن-هماتن از کانی طبیعی آن با فناوری سبز و مقرن به صرفه لاپهبرداری فیزیکی در فاز مایع در حضور امواج فراصوت مطالعه شد. هدف از این مطالعه تولید انبوه نانومواد دوبعدی از کانی طبیعی ایلمنیت و به کارگیری نانوکاتالیست تولید شده در فرایند فتنون ناهمگن برای حذف آلاینده دارویی فورازولیدون<sup>۱</sup> است. اثر حلال‌های آلی مانند دی‌متیل‌فرمامید، *N*-متیل-۲-پیرولیدن، ایزوپروپیل و تولوئن بر فرایند لاپهای‌شدن با تعیین مقدار تخریب آلاینده دارویی فورازولیدون بررسی شد. آلاینده دارویی فورازولیدون یک داروی پادبacterی مشتق از نیتروفوران و مهارکننده آنزیم مونوآمین اکسیداز است که در درمان اسهال ناشی از باکتری یا پروتوبوزوا استفاده می‌شود. همچنین، از آن به طور گسترده به عنوان افزودنی برای واپاپیش باکتری و قارچ خوارک دام و طیور استفاده می‌شود [۱۴ و ۱۳]. از آنجایی که نشان داده شده است فورازولیدون ویژگی جهش‌زاوی، ژنتوکسیک و بالقوه سلطان‌زا در هنگام آزمایش در سامانه‌های متفاوت دارد، استفاده از این دارو در بسیاری از کشورها منع شده است [۱۵ تا ۱۷]. بنابراین، نیاز فزاینده‌ای برای یافتن راهی برای حذف آن از محیط‌های آلوده وجود دارد در کار پژوهشی حاضر برای نخستین بار میکروذردهای کانی ایلمنیت طبیعی (FeTiO<sub>3</sub>) با استفاده از امواج فراصوت در حضور حلال‌های آلی متفاوت لاپهبرداری و تبدیل به نانوساختارهای ایلمنن-هماتن شد. ویژگی‌های فیزیکی و شیمیایی نانوساختارهای تهیه شده و کانی اولیه با روش‌های XRD، SEM، EDS، BET، XRF، FTIR، DRS و تحلیل نقشه‌برداری نقطه‌ای<sup>۲</sup> و Expert Design-Expert بر متغیر پاسخ (بازده تخریب آلاینده دارویی) تحلیل و بررسی شد. تأثیر عامل‌های عملیاتی با نرم افزار Design-Expert بر متغیر پاسخ (بازده تخریب آلاینده دارویی) تحلیل

1. Furazolidone

2. Dot mapping

تأمین کننده نور مرئی (Osram Ultra Vitalux 300 W) با یک صافی قطع کننده نور UV ( $\lambda > 420$  نانومتر) در بالای آن به طور پیوسته تابش دهی شد. از مخلوط در دمای اتفاق در فواصل زمانی مشخص، نمونه برداری انجام و سپس، جذب نمونه ها بر دستگاه طیف نور سنج مشاهده و بازده تخریب محاسبه شد. لازم به ذکر است برای توقف واکنش از اتانول استفاده شد.

بهینه سازی فرایند تخریب فورازولیدون با نرم افزار

#### *Design-Expert<sup>7</sup>*

آزمایش های فتو کاتالیستی برای حذف آلاینده دارویی فورازولیدون با هدف بهینه سازی عامل های مؤثر در تخریب آلاینده مانند pH، مقدار کاتالیست، غلظت اولیه آلاینده در محلول و زمان انجام واکنش در حضور کاتالیست تهیه شده با روش سطح پاسخ (RSM<sup>۳</sup>) و طراحی ترکیب مرکزی در نرم افزار Design-Expert 7 مدل سازی و انجام شد.

#### نتیجه ها و بحث

##### اثر حلال

حال می تواند نقش مهمی در ریخت شناسی و اندازه نانوساختارهای تهیه شده در فرایند لا یه برداری داشته باشد و از عوامل تأثیرگذار بر کارایی کاتالیست در فرایند فتنون ناهمگن باشد. برای بررسی این موضوع در حضور حلال های متفاوت اقدام به تهیه نانوساختارهای ایلمنن - هماتن از کانی طبیعی ایلمینیت شد و عملکرد نانو کاتالیست تهیه شده در تخریب آلاینده دارویی فورازولیدون در نور مرئی در فرایند فتنون ناهمگن بررسی شد. بازده تخریب فورازولیدون با کاتالیست تهیه شده از فرایند لا یه برداری در حضور چهار حلال آلی دی متیل فرمامید (a)، N-متیل-2-پیرو لیدون (b)، ایزو پروپیل الکل (c) و تولوئن (d) در شکل ۱ و مشخصه های آنها در جدول ۱ نشان داده شده است.

بررسی درصد شیمیایی نسبی عناصر و به کار گرفته شد. طیف سنج بازتابی پخشیده<sup>۱</sup> (DRS) UV-1700 Pharma Shimadzu Spec شکاف های نوار ایلمینیت طبیعی و نانوساختارهای تهیه شده، استفاده شد. برای لا یه برداری از کانی ایلمینیت، حمام فراصوت مدل S3 EP Sonica.2200 ساخت ایتالیا و برای Atrohlein<sup>۲</sup> BET تعیین سطح ویژه با روش<sup>۳</sup> Aramat II به کار گرفته شد.

##### روش تهیه نانو کاتالیست

در این پژوهش، کانی طبیعی ایلمینیت از معدن ایلمینیت کهنه وج در ۳۵۰ کیلومتری جنوب کرمان تهیه شد. نانوساختارهای ایلمنن - هماتن با روش لا یه برداری در فاز مایع در حضور امواج فراصوت از میکرو ذره های کانی اولیه ایلمینیت تهیه شدند. برای این منظور در یک بالن شیشه ای ۱۰۰ میلی لیتری، ۰/۵ گرم پودر ایلمینیت اولیه FeTiO<sub>3</sub> در ۵۰ میلی لیتر حلال آلی مورد نظر پراکنده شد. مخلوط به دست آمده در توان ۶۰ وات به مدت ۱۸ ساعت به طور متناوب در دمای محیط درون حمام فراصوت قرار گرفت. مخلوط ناهمگن به دست آمده به مدت ۳۰ دقیقه در دور ۱۵۰۰ ۳/۴ دور در دقیقه در دستگاه گریزانه قرارداده شد. سپس، مایع بالای مخلوط، با پیست جمع آوری و برای به دست آوردن ایلمنن - هماتن لا یه ای شده و خشک، پودر به دست آمده به مدت ۲ تا ۳ ساعت در آون در دمای ۱۰۰ °C قرار داده شد.

فرایند فتنون ناهمگن مبتنی بر نور مرئی فرایند فتنون ناهمگن یک فرایند اکسایش پیشرفتنه قابل اعتماد برای حذف انواع آلاینده ها است. در این مطالعه فرایند آزمایش در یک بشر ۵۰۰ میلی لیتری با محلول حاوی نانو کاتالیست انجام شد. محتويات بشر با قرار دادن یک لامپ

1. Diffuse reflection spectroscopy (DRS)

2. Brunaue-Emmett-Teller

3. Response surface method (RSM)

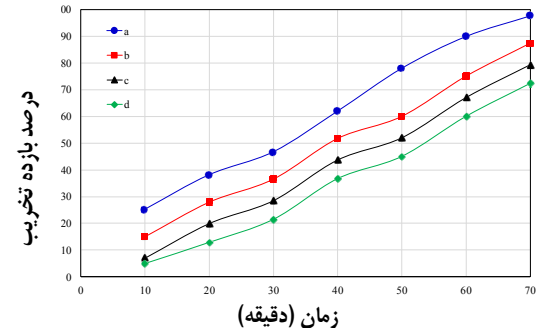
مشخص می‌کند. بنابراین، با افزایش ثابت دی‌الکتریک حلال، نیروی جاذبه بین لایه‌ها کاهش یافته و از انباشتگی دوباره لایه‌ها جلوگیری می‌کند و به دنبال آن با تبدیل جسم انباشته به لایه‌های جدا از هم، تعداد مکان‌های فعال در سطح کاتالیست افزایش می‌یابد و در نهایت موجب افزایش کارایی آن در فرایند فتون ناهمگن می‌شود.

بررسی‌ها نشان داد که نانوکاتالیست تهیه شده در حضور حلال دی‌متیل‌فرمامید با ثابت دی‌الکتریک بالاتر، بازده تخریب بیشتری در فرایند فتون ناهمگن از خود نشان می‌دهد، اما با کاهش ثابت دی‌الکتریک حلال در فرایند لایه‌برداری، کاهش در بازده تخریب در فرایند فتون ناهمگن مشاهده شد. ثابت دی‌الکتریک یک حلال (یا ثابت گذره‌ی نسبی) کمیتی است که توانایی یک حلال را در جداسازی زوج یون‌های مثبت و منفی از یکدیگر در فرایند لایه‌برداری

جدول ۱ مشخصه‌های چهار حلال مورد استفاده در فرایند لایه‌برداری از کانی طبیعی ایلمنیت

نوع حلال	قطبیت لحظه‌ای	ثابت دی‌الکتریک	فرمول شیمیایی	حال
غیرقطبی	D ۰,۳۶	۲,۴	C <sub>6</sub> H <sub>5</sub> CH <sub>3</sub>	تولوئن
پروتونی قطبی	D ۱,۶۶	۱۸,۰	(CH <sub>3</sub> ) <sub>2</sub> CH(OH)	(IPA)
غیرپروتونی قطبی	D ۴,۱۰	۳۲,۲	CH <sub>3</sub> NC(O)C <sub>3</sub> H <sub>6</sub>	-N-متیل-پیرولیدون
غیرپروتونی قطبی	D ۳,۸۲	۳۸,۰	HC(O)N(CH <sub>3</sub> ) <sub>2</sub>	دی‌متیل فرمامید(DMF)

اندازه‌گیری مساحت سطح با روش (BET) نظریه بی‌ای‌تی (BET) به طور معمول برای توضیح هم‌دما جذب فیزیکی مولکول‌های گاز بر سطح جامد و برای تعیین مساحت سطح ویژه جامدها استفاده می‌شود. با افزایش اندازه منافذ و مساحت سطح، جذب گاز در فشارهای متفاوت اعمال شده بالاتر می‌رود [۱۸]. در جدول ۲ مساحت سطح ویژه ایلمنیت طبیعی و نانوساختارهای تهیه شده از آن آورده شده است. با توجه به این جدول، لایه‌برداری، سطح فعال نانوساختار تهیه شده از ایلمنیت طبیعی را افزایش می‌دهد و در نتیجه نقاط فعال بیشتری را برای واکنش بین آلاینده‌ها و واکنش دهنده‌ها فراهم می‌کند که موجب افزایش بازده تخریب آلاینده دارویی طی فرایند فتون ناهمگن می‌شود.



شکل ۱ اثر حلال‌های دی‌متیل فرمامید (a)، N-متیل-پیرولیدون (b)، ایزوپروپیل‌الکل (c) و تولوئن (d) بر بازده تخریب فوراًزولیدون در مقابل زمان در حضور نانوکاتالیست ایلمن-هماتن تهیه شده (شرایط اجرای فرایند:  $[FZN]_0 = [Catalyst]_0 = 0.5 \text{ g/l}$ ,  $pH = 6$ ,  $[H_2O_2]_0 = 10 \text{ mmol/l}$ ,  $20 \text{ mg/l}$ ,

در طیفهای هر سه نمونه از جمله نمونه ایلمنیت پیش و پس از فرایند لایه‌برداری و نمونه نانوساختارهای ایلمنن-همانن پس از به کارگیری در فرایند فتوفتون ناهمگن، دو نوار جذبی در گسترهای  $160\text{ cm}^{-1}$  تا  $160.5\text{ cm}^{-1}$  و  $3429\text{ cm}^{-1}$  به ترتیب مربوط به ارتعاش‌های خمی و کششی گروه OH است.

این دو نوار نشان‌دهنده حضور مولکول‌های آب در اثر هیدراته‌شدن نمونه‌ها به دلیل قرارگرفتن در معرض مولکول‌های آب است [۲۲]. نوار مشاهده شده در گستره  $2850\text{ cm}^{-1}$  تا  $2925\text{ cm}^{-1}$  به ارتعاش‌های کششی  $\text{CH}_2$  ترکیب‌های غیر حلقوی نسبت داده می‌شود [۲۳] تا [۲۶]. نوارهای پدیدارشده در گستره  $995\text{ cm}^{-1}$  تا  $998\text{ cm}^{-1}$  و  $691\text{ cm}^{-1}$  به ترتیب مربوط به ارتعاش‌های کششی پیوندهای Fe-O-Ti و Fe-O-Fe است [۲۳] تا [۲۶].

همان‌گونه که در طیف FTIR کانی ایلمنیت اولیه و نانوساختارهای ایلمنن-همانن اولیه و به کارگرفته شده در فرایند فتوفتون ناهمگن مشاهده می‌شود گروه‌های عاملی موجود در سطح نمونه در هر دو حالت تبدیل به نانوساختارهای ایلمنن-همانن و پس از به کارگیری در فرایند فتوفتون ناهمگن دچار تغییر قاب‌توجهی نشده‌اند.

با توجه به عدم تغییر در نوارهای مشاهده شده می‌توان نتیجه گرفت که فرایند لایه‌برداری فیزیکی در فاز مایع تغییری در گروه‌های عاملی سطحی و تخریب در پیوندهای گروه‌های عاملی اصلی سطح کاتالیست به وجود نیاورده است. به بیان دیگر، فرایند لایه‌برداری نمونه ایلمنیت را دستخوش تغییرهای پایه‌ای از نظر ساختار و ویژگی شیمیایی نکرده است.

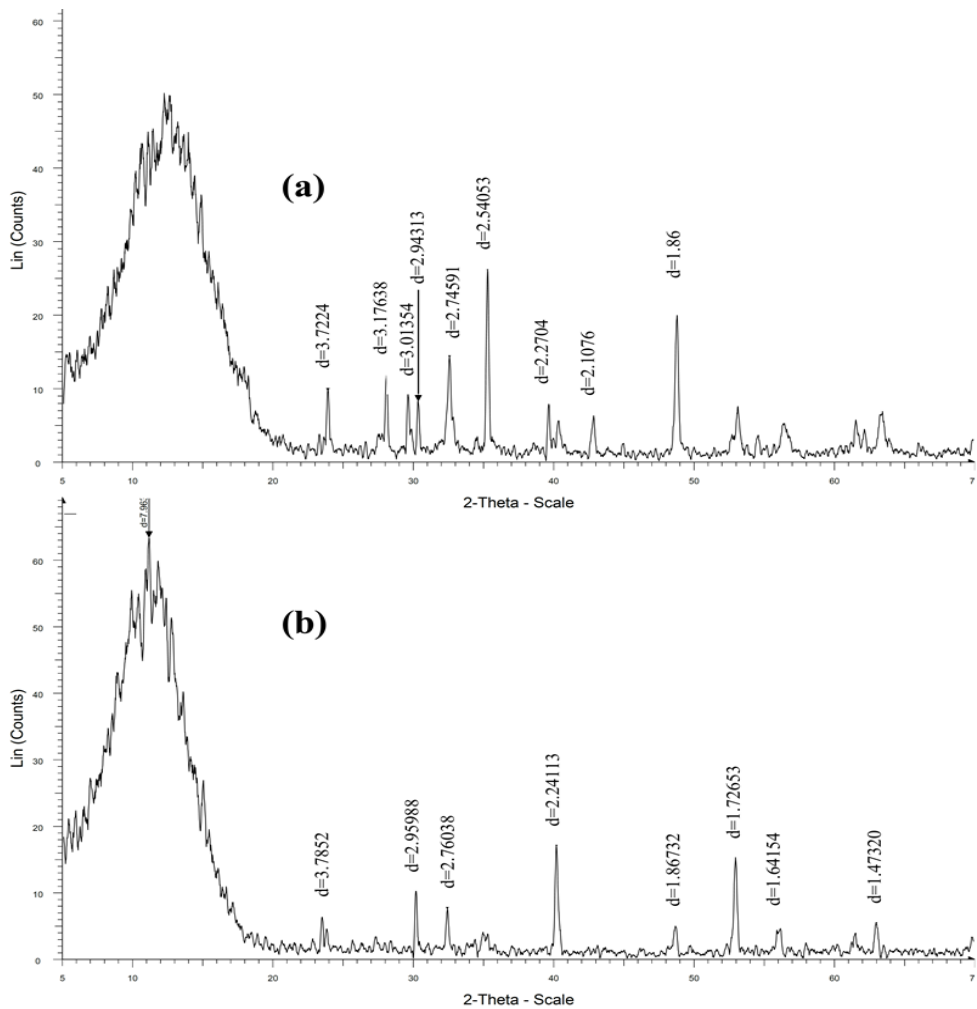
جدول ۲ مساحت سطح اندازه‌گیری شده با روش BET برای ایلمنیت طبیعی و نانوساختارهای تولید شده در حضور حلال DMF

نمونه	مساحت سطح ( $\text{m}^2/\text{g}$ )
ایلمنیت طبیعی	.
نانوساختار ایلمنن-همانن	۱۱

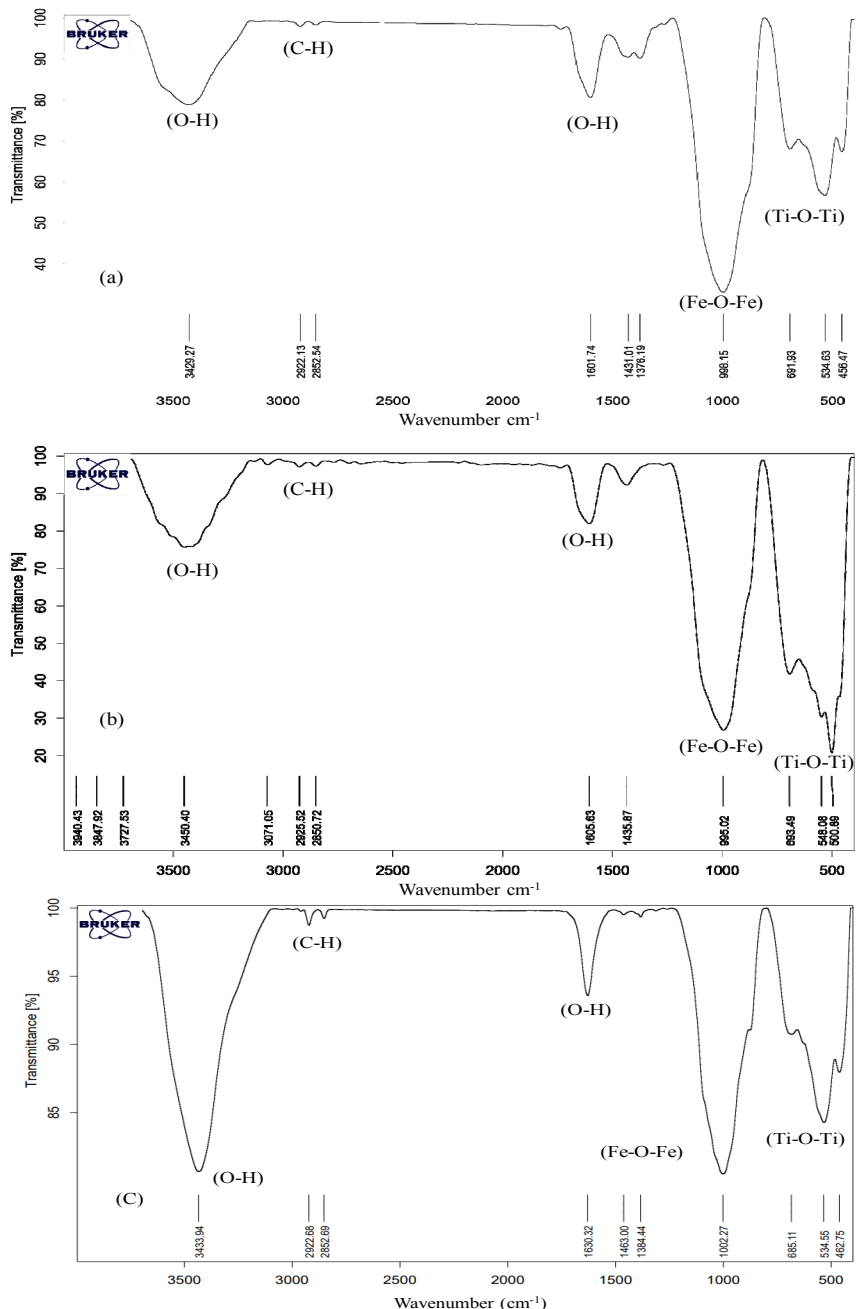
الگوهای پراش پرتو ایکس (XRD) ساختار بلوری میکروژردۀ‌های ایلمنیت طبیعی و نانوساختارهای مربوط تهیه شده در حضور حلال دی‌متیل-فرمamide و امواج فراصوت و نانوساختارهای به کارگرفته شده در فرایند فتوفتون ناهمگن برای تخریب آلاینده فوراً زویدون با پراش پرتو ایکس (XRD) مطالعه شد. الگوهای پراش پرتو ایکس میکروژردۀ‌های ایلمنیت اولیه و نانوساختارهای ایلمنن-همانن در شکل ۲ نشان داده شده‌اند. شکل a-۲ الگوی ایلمنیت طبیعی و شکل b-۲ الگوی نانوساختار تهیه شده ایلمنن-همانن را نشان می‌دهد.

پراش پرتو ایکس نمونه اولیه نشان می‌دهد که در نمونه اولیه دو فاز بلوری همانیت (JCPDS No: 33-0664) و ایلمنیت (JCPDS No: 29-0733) حضور دارند. به دلیل حضور همزمان هر دو فاز بلوری همانیت و ایلمنیت در نمونه اولیه، طی فرایند لایه‌برداری هر دو فاز بلوری لایه‌برداری موجب تولید نانولایه‌های ایلمنن-همانن شد [۱۹] تا [۲۱].

طیفهای فروسرخ تبدیل فوریه (FTIR) طیفهای FTIR ایلمنیت پیش و پس از فرایند لایه‌برداری و پس از به کارگیری در فرایند فتوفتون ناهمگن به ترتیب در شکل‌های a-۳، b-۳ و c-۳ نشان داده شده است.



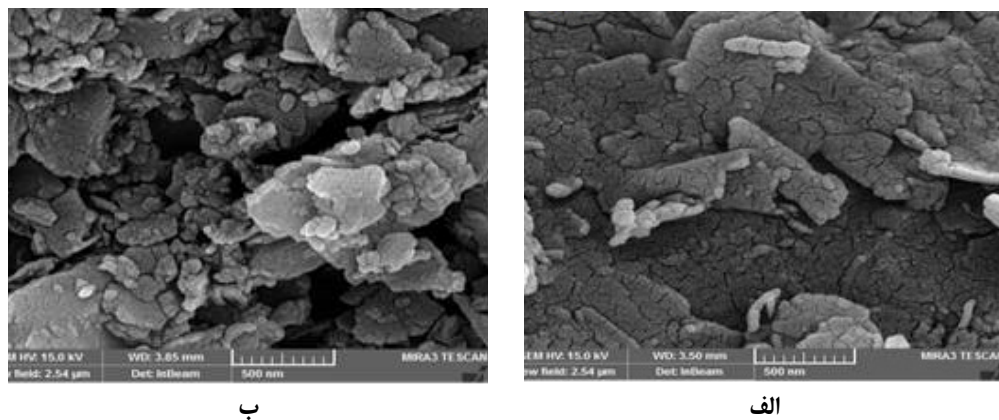
شکل ۲ الگوهای پراش پرتو ایکس (XRD) (ایلمنیت طبیعی (a) و نانوساختار ایلمنن-همانن به دست آمده پس از فرایند لایه برداری در حضور حلال بهینه دی متیل فرمامید (b)



شکل ۳ طیف‌های FTIR میکروذردهای ایلمنیت طبیعی (a)، نانوساختار ایلمنن-هماتن به دست آمده پس از فرایند لایه‌برداری در حضور حلال بهینه دی‌متیل فرمامید (b) و نانوساختار ایلمنن-هماتن به کارگرفته شده در فرایند فتوفتون ناهمگن برای تحریر آلاینده دارویی فورازولیدن (c)

شکل ۴-ب لایهبرداری موققیت آمیز ایلمینیت طبیعی را به نanosاختارهای ایلمنن-همانن پس از قرار گرفتن در معرض امواج فرماصوت و مولکولهای حلال مذکور تأیید می‌کند. افزون بر پراکندگی و توزیع نanosاختارهای ایلمنن-همانن که در تصاویر SEM تأیید شده، با تجزیه و تحلیل BET نمونه‌ها مشخص شد، مساحت سطح ویژه میکروذرهای از ۰ مترمربع/گرم در ایلمینیت طبیعی به ۱۱ مترمربع/گرم در نanosاختار به دست آمده افزایش یافته است. سازوکار لایهبرداری به طور دقیق گزارش نشده است، ولی همان‌طور که پیش از این توضیح داده شد، سازوکار فرایند لایهبرداری را می‌توان به نیتروی وارد ناشی از تابش امواج فرماصوت و برهمنکش نanosاختارها با مولکولهای حلال نسبت داد. بهیان دیگر، در اثر برخورد امواج پر انرژی فرماصوت، نیتروهای واندروالسی بین مولکولهای ماده موردنظر گسسته و میکروذرهای ماده در فرایند لایهبرداری به نanosاختارهای متضاظرشان تبدیل می‌شوند.

تصویرهای میکروسکوپ الکترونی روشنی (SEM) در شکل ۴ تصویرهای میکروسکوپ الکترونی (SEM) پودر ایلمینیت پیش و پس از فرایند لایهبرداری برای بررسی ریخت ذره‌ها ارائه شده است. همان‌طور که در شکل ۴-الف مشاهده می‌شود سطح میکروذرهای کانی طبیعی ایلمینیت به‌طور کامل یکپارچه است و در آن پراکندگی میکروذرهای بسیار کم مشاهده می‌شود. در حالی‌که، پس از اجرای فرایند لایهبرداری بر ایلمینیت طبیعی و تشکیل نanosاختارهای ایلمنن-همانن، پراکندگی و توزیع یکنواخت و کاهش ابعاد ذره‌ها به‌طور گسترده رخ می‌دهد. تشکیل نanosاختارهای مربوط در حضور امواج فرماصوت و مولکولهای حلال که خود را به عنوان مولکولهای واسطه بین نanosاختارهای مذکور قرار می‌دهند موجب پراکندگی ذره‌ها در محلول می‌شوند. به بیان دیگر، نanosاختارها در اثر نیتروهای وارد شده به‌وسیله امواج فرماصوت ایجاد می‌شوند. در ادامه مولکولهای حلال بین این نanosاختارها قرار می‌گیرند که از تجمع ثانویه نanosاختارها جلوگیری می‌شود. تصاویر در



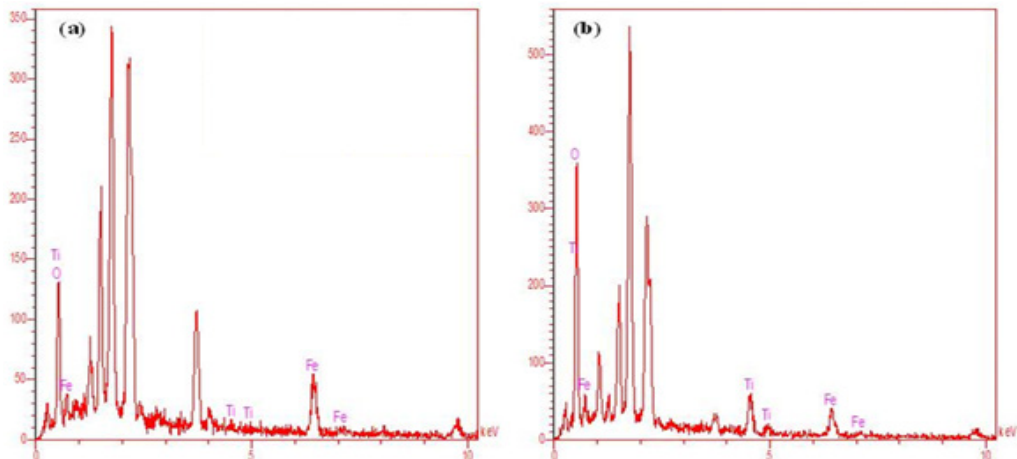
شکل ۴ تصویرهای SEM مربوط به ایلمینیت پیش (الف) و پس (ب) از فرایند لایهبرداری

صفحه‌های مربوط برای جلوگیری از به هم پیوستگی نanosاختارهای ایجاد شده وارد عمل می‌شود و از انباسته‌شدن و به هم پیوستگی نanosاختارهای به دست آمده جلوگیری می‌کند. طیف‌های EDS برای پودر ایلمینیت طبیعی و نanosاختارهای

تصویرهای SEM نمونه‌ها پیش و پس از فرایند لایهبرداری به روشنی تولید نانوصفحه‌های موردنظر را در حضور حلال پهنه‌های دی‌متیل فرمامید تأیید می‌کند. حلال پس از تأثیر برهمکنش امواج با بلورهای ایلمینیت اولیه و ایجاد نانو

ایلمنیت طبیعی و نانوساختار تهیه شده در جدول ۳ ارائه شده است که نشان می دهد درصد نسبی Ti و Fe در این دو نمونه تغییر قابل توجهی نداشته است.

طرح ایلمنن- هماتن، وجود عناصر Ti و O در ساختار ایلمنیت (پیش و پس از فرایند لایه برداری) را تأیید می کند (شکل ۵). نتیجه تجزیه عنصری با روش XRF نیز برای نمونه های



شکل ۵ طیف های EDS ایلمنیت طبیعی (a) و نانوساختارهای ایلمنن- هماتن به دست آمده پس از فرایند لایه برداری در حضور حلال بهینه دی متیل فرمامید (b)

جدول ۳ تجزیه عنصری (با روش XRF) برای ایلمنیت طبیعی و نانوساختار تهیه شده

نمونه	Al <sub>2</sub> O <sub>3</sub> %	SiO <sub>2</sub> %	Fe <sub>2</sub> O <sub>3</sub> %	TiO <sub>2</sub> %	CaO%	MgO%	Na <sub>2</sub> O%	L.O.I%
ایلمنیت	۳/۵۹	۱۱/۱۴	۴۰/۲۱	۴۰/۲۳	۳/۲۱	۱/۱۰	۰/۱۹	۰/۰۰
نانو کاتالیست	۲/۹۲	۱۰/۳۳	۴۱/۰۶	۴۱/۱۲	۳/۱۷	۱/۰۸	۰/۲۳	۰/۰۰

طیف سنجی بازتابی / عبوری پخشیده (<sup>1</sup>DRS/DTS) با استفاده از طیف سنجی بازتابی پخشیده (DRS) مقدار نور بازتابی در ناحیه UV-Vis (Band Gap) یا شکاف انرژی ایلمنیت طبیعی و نانوساختارهای تهیه شده، نمودار<sup>2</sup> ( $Ahv$ ) در مقابل انرژی فتوна ( $h\nu$ ) بربایه معادله ۲ رسم شد که در آن  $h\nu$  انرژی یک فoton ( $eV$ ),  $A$  جذب،  $k$  ثابت و  $E_g$  شکاف انرژی است.

$$(Ah\nu)^2 = k(h\nu - E_g) \quad (2)$$

در فرایند لایه برداری نام ماده اولیه پس از فرایند لایه برداری تغییر می کند. برای مثال، اگر نمونه اولیه ای که در معرض لایه برداری قرار گرفته ایلمنیت ( $FeTiO_3$ ) باشد به ایلمنن تغییر نام می دهد که نشان دهنده لایه ای شدن این ماده است و اگر نمونه اولیه هماتیت ( $Fe_2O_3$ ) باشد به هماتن تغییر نام می دهد. الگوهای XRD وجود هر دو فاز بلوری هماتیت و ایلمنیت در نمونه اولیه مورد استفاده را تأیید کرد. بنابراین، در طی فرایند لایه برداری به دلیل حضور هر دو فاز بلوری ایلمنیت و هماتیت در نمونه اولیه در فرایند لایه برداری، دو فاز بلوری ایلمنن و هماتن از نمونه اولیه ایجاد شد.

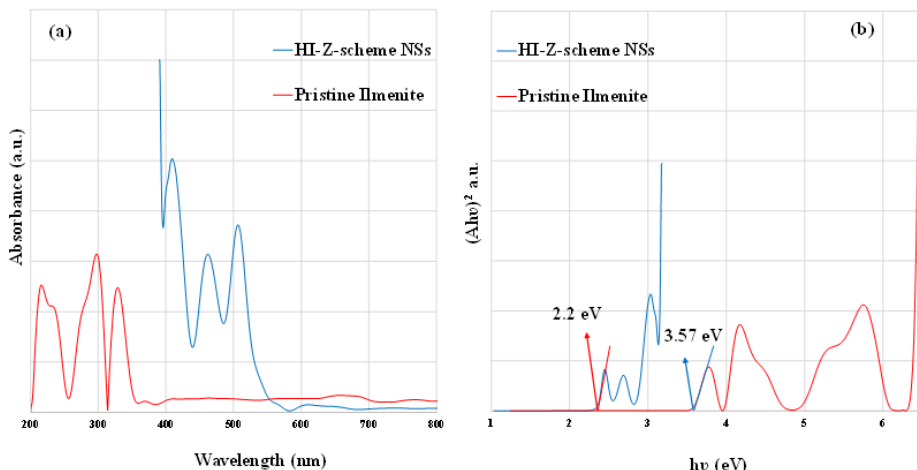
1. Diffuse Reflection/transmittance Spectroscopy (DRS /DTS)

سال شانزدهم، شماره ۳، پاییز ۱۴۰۱

نشریه پژوهش های کاربردی در شیمی (JARC)

تحریک شود، ولی نمونه تولیدشده پس از فرایند لایبرداری به دلیل کاهش شکاف انرژی به  $2/2$  الکترون ولت می‌تواند در زیر نور مرئی نیز فعالیت فتوکاتالیستی داشته باشد. نانوساختارهای ایلمنن-هماتن در فرایند فتوفتون-ناهمگن زیر نور مرئی برای تخریب آلاینده دارویی فورازولیدون به کار گرفته شدند.

مقادیر شکاف انرژی به دست آمده برای ایلمنیت طبیعی و نانوساختار تهیه شده به ترتیب  $3/57$  و  $2/2$  الکترون ولت (شکل ۶-۶) است. طیفهای شکاف انرژی (شکل ۶-a) نشان دهنده جذب نمونه هاست. همان‌طور که مشاهده می‌شود شکاف انرژی نمونه پس از فرایند لایبرداری کاهش یافته است. به بیان دیگر، نمونه اولیه اگر به عنوان فتوکاتالیست مورد استفاده قرار بگیرد به دلیل شکاف انرژی زیاد باید زیر نور فرابنفش



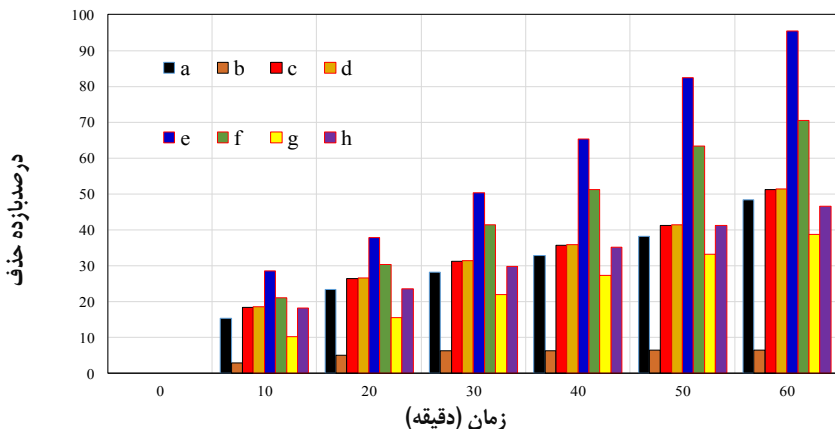
شکل ۶ طیفهای UV-Vis/DRS از ایلمنیت طبیعی و نانوساختار تهیه شده (a) و انرژی شکاف نواری بدست آمده از معادله ۲ برای ایلمنیت طبیعی و نانوساختار تهیه شده (b)

نور مرئی» و «فرایند برجذب» به ترتیب بیشترین و کمترین بازده را داشتند. با توجه به مساحت سطح ویژه کم نانوکاتالیست، نانوکاتالیست توانایی کمی در فرایند برجذب آلاینده دارد و تنها موفق به جذب  $12/3\%$  از فورازولیدون شد  $H_2O_2$  که نشان دهنده محدودیت فرایند برجذب است. سامانه  $H_2O_2$  و نور مرئی بدون حضور کاتالیست، توانایی حذف تنها  $48/3\%$  از فورازولیدون را داشت. علت تخریب آلاینده دارویی در فرایند اکسایش این است که هیدروژن پراکسید در آب در حضور نور، تخریب و به رادیکال‌های هیدروکسیل تبدیل می‌شود. این رادیکال‌ها موجب حذف آلاینده دارویی می‌شود. همچنین، هیدروژن پراکسید با داشتن قابلیت اکسایشی

فرایند فتوفتون مبتنی بر نور مرئی نمودارهای تخریب فورازولیدون تحت فرایندهای اکسایش پیشرفته متفاوت ( $H_2O_2$  و نور مرئی)، فرایند جذب سطحی، فرایند فتو فنتون ناهمگن در حضور نمونه ایلمنیت طبیعی، فرایند فتو فنتون ناهمگن تحت نور مرئی در حضور ایلمنیت طبیعی، فرایند فتو فنتون ناهمگن تحت نور مرئی در حضور نانوساختارهای ایلمنن-هماتن، فرایند فتوفتون ناهمگن در حضور نانوساختارهای ایلمنن-هماتن-هماتن و فرایند فتوکاتالیستی در حضور ایلمنیت طبیعی و ایلمنیت نانوساختار در شکل ۷ نشان داده شده است. برپایه این شکل، تخریب فورازولیدون تحت «فرایند فتوفتون ناهمگن تحت

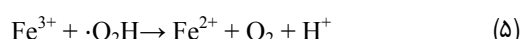
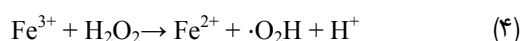
به  $\text{Fe}^{3+}$  و سپس بازیابی  $\text{Fe}^{2+}$  در فرایند فنتون ناهمگن در واکنش‌های ۳ تا ۵ نشان داده شده است. به طور کلی، کارایی فرایند فنتون ناهمگن، در حضور نور مرئی و نانوساختارهای ایلمنن-همانن بالاتر از بازده این فرایند در تاریکی است [۲۹].

می‌تواند افزون بر تبدیل شدن به رادیکال‌های هیدروکسیل، به‌طور مستقیم نیز با آلائیند وارد واکنش و موجب افزایش بازده تخریب شود. در حضور نور  $\text{H}_2\text{O}_2$  و  $88/5\%$  از فورازولیدون به‌ترتیب با فرایند فنتون ناهمگن و فرایند فنتون ناهمگن مبتنی بر نور مرئی حذف شدند. فرایند تبدیل  $\text{Fe}^{2+}$



شکل ۷ بازده تخریب فورازولیدون در حضور ایلمنیت طبیعی و نانوکاتالیست‌های تهیه شده در سامانه‌های اکسایش متفاوت.  $\text{H}_2\text{O}_2$  و نور مرئی (a)، فرایند جذب سطحی (b)، فرایند فنتون ناهمگن در حضور نمونه ایلمنیت طبیعی (c)، فرایند فتوفنتون ناهمگن تحت نور مرئی در حضور ایلمنیت طبیعی (d)، فرایند فنتون ناهمگن تحت نور مرئی در حضور نانوساختارهای ایلمنن-همانن (e)، فرایند فتوفنتون ناهمگن در حضور نانوساختارهای ایلمنن-همانن (f) و فرایند فتوکاتالیستی در حضور ایلمنیت طبیعی و ایلمنیت نانوساختار (به ترتیب g و h)

موجب افزایش فعالیت فتوکاتالیستی در تخریب فورازولیدون در ناحیه مرئی می‌شود. افزون براین، به‌دلیل سامانه هم افزایی دوگانه یونی ( $\text{Fe}/\text{Ti}$ )،  $\text{Fe}^{3+}$  می‌تواند الکترون‌ها را از  $\text{Ti}$  در حالت اکسایش پایین‌تر دریافت کند و به  $\text{Fe}^{2+}$  تبدیل شود، زیرا پتانسیل استاندارد زوج  $\text{Ti}^{3+}/\text{Ti}^{2+}$  (aq) با  $-0.37 \text{ eV}$  بوده و کمتر از پتانسیل استاندارد زوج  $\text{Fe}^{3+}/\text{Fe}^{2+}$  ( $0.77 \text{ eV}$ ) است و به کاتالیست توان بازیابی و امکان تشکیل یک سامانه هم افزایی دوگانه یونی  $\text{Fe}/\text{Ti}$  برای محافظت از  $\text{Fe}^{3+}$  را می‌دهد. سازوکار پیشنهادشده برای پیوند ناهمگون برایه



به دلیل کاهش شکاف انرژی در نانوساختار تهیه شده، این ترکیب به‌آسانی با نور مرئی برانگیخته می‌شود و پیوندهای ناهمگون شامل پیوندهای نیم‌رسانای نوع n (ایلمنیت) و نیم‌رسانای نوع p (همانن) را تشکیل می‌دهد که به‌دلیل نقل و انتقال الکترون در این دو نیم‌رسانای، از بازنگری دوباره الکترون-حفره تولید شده، جلوگیری می‌کند. این سازوکار

*بهینه‌سازی فرایند تخریب فوراژولیدون با نرم‌افزار Design-Expert<sup>7</sup>*

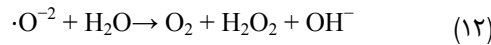
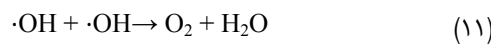
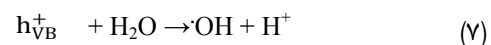
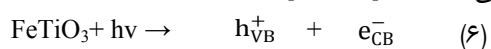
با اطمینان به کارایی فرایند فتوفتون ناهمگن مبتنی بر نور مرئی در مقایسه با سایر سامانه‌ها در تخریب فوراژولیدون، این سامانه با توجه به عامل‌های فهرست شده در جدول ۴ برای بهینه‌سازی در حضور نانوکاتالیست تهیه شده با روش سطح پاسخ RSM در نرم افزار 7 Design-Expert انتخاب شد. شکل ۸ (a) تا (d) معادله بین عامل‌های بررسی شده و بازده تخریب را نشان می‌دهد.

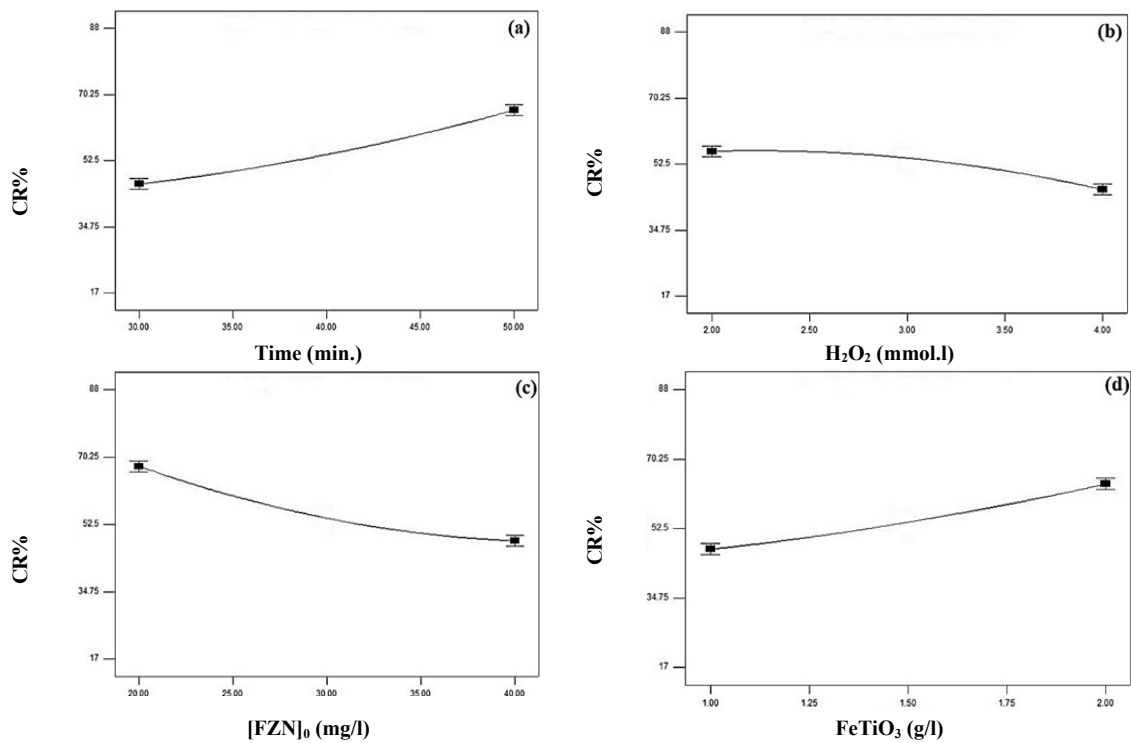
جدول ۴ شرایط آزمایش

گستره	واحد	عامل‌ها
۶۰-۲۰	min	زمان
۵۰-۱۰	mg/l	مقدار آلاینده
۵-۱	mmol/l	H <sub>2</sub> O <sub>2</sub>
۰.۵-۰.۲۵	g/l	مقدار کاتالیست

شکل ۸ (a) و (d) نشان می‌دهد که بازده تخریب با افزایش زمان (از حدود ۴۶٪ در ۳۰ دقیقه به ۶۶٪ در ۵۰ دقیقه) و افزایش مقدار نانوساختار (از حدود ۴٪ برای ۱ گرم در لیتر تا ۶۴٪ برای ۲ گرم در لیتر) افزایش یافته است، چون یون‌های Fe و Ti بر سطح نانوساختار بیشتر در معرض آلاینده فوراژولیدون هستند. بنابراین، افزایش زمان موجب افزایش بازده تخریب می‌شود. همچنان، با افزایش مقدار نانوساختار تهیه شده با توجه به اینکه تعداد بیشتری از این دو نوع یون در سطح آن وجود دارد با کمک سامانه هم‌افزایی دوگانه یونی، توان بازیابی کاتالیست بیشتر و این عمل موجب افزایش بازده تخریب آلاینده می‌شود.

معادله‌های ۶ الی ۱۲ است. در نهایت بازده تخریب آلاینده دارویی با فرایند فتوکاتالیستی در حضور نور و ایلمینیت طبیعی و نانوساختار بررسی شد. نتیجه‌ها به ترتیب در نمودارهای g و h نشان داده شده است. همان‌طور که مشاهده می‌شود بازده تخریب فتوکاتالیستی فوراژولیدون کمتر از فرایند فتوفتون و فتوفتون است. علت این نتیجه، این است که سرعت فرایند فتوکاتالیستی به دلیل تولید رادیکال‌های هیدروکسیل فقط از واکنش‌های ۶ تا ۸ کمتر از سرعت فرایند فتوفتون ناهمگن در شرایط یکسان آزمایشی است، ولی در فرایند فتوفتون ناهمگن همان‌طور که در واکنش‌های بالا نشان داده شده است از مراحل متفاوتی رادیکال‌های هیدروکسیل تولید می‌شود که موجب ایجاد اثر هم‌افزایی است. این اثر هم‌افزایی موجب افزایش سرعت تخریب آلاینده می‌شود. از مزایای به کارگیری کاتالیست‌های برپایه آهن در فرایند فتوفتون ناهمگن، امکان انجام فرایند تصفیه در گستره pH برابر با ۷ تا ۳۰ تا ۳۲، سرعت بالای فرایند تخریب و پایداری فعالیت کاتالیست پس از چندین بار استفاده و امکان استفاده دوباره از کاتالیست است [۳۱ تا ۳۴]. به کارگیری نانوکاتالیست‌ها منجر به توزیع بهتر، افزایش فعالیت در دماهای پایین‌تر، پایداری بیشتر و همچنین، افزایش قابل توجه کارایی این فرایندها در حذف آلاینده‌های محیطی شده است [۳۰ تا ۳۵].



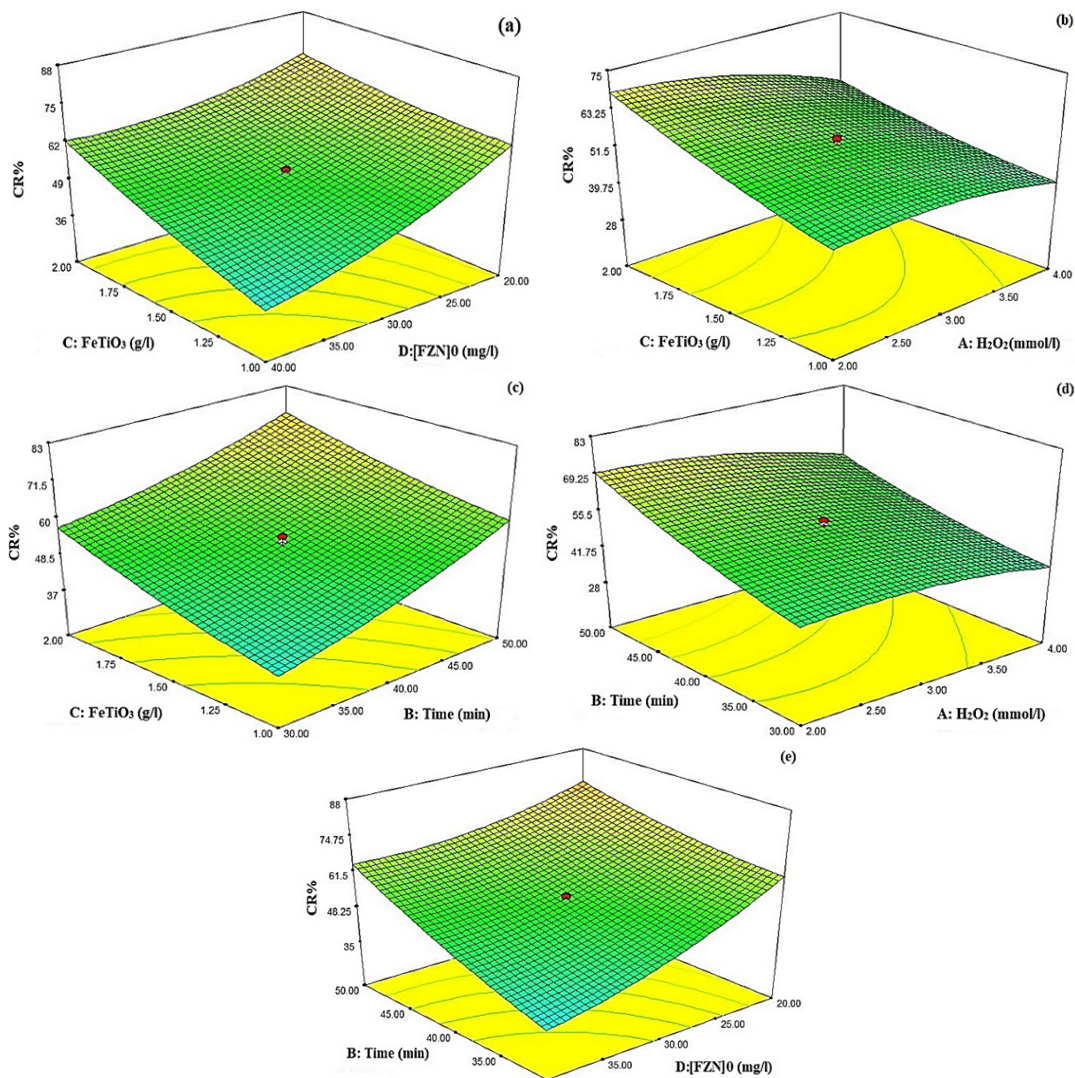


شکل ۸ رابطه بین عامل‌های عملیاتی بررسی شده و بازده تخریب

غلظت رادیکال‌های هیدروکسیل افزایش نیافته است و تحت شرایط عملیاتی یکسان غلظت رادیکال‌های هیدروکسیل ثابت است. در غلظت رادیکالی ثابت با افزایش مقدار آلائیند در عمل بازده تخریب کاهش می‌یابد. برای مثال، با افزایش مقدار آلائیند از ۲۰ میلی‌گرم در لیتر به ۴۰ میلی‌گرم در لیتر، بازده تخریب آن از ۶۸٪ به ۴۸٪ کاهش یافته است.

تأثیر هم‌زمان عامل‌های یادشده در این مطالعه بر بازده تخریب در شکل ۹ نشان داده شده است. با توجه به این شکل، هم‌افزایی به طور مستقل در هر یک از شرایط به طور هم‌زمان برای افزایش بازده تخریب، رخ داده است. این هم‌افزایی‌ها شامل افزایش در نانوکاتالیست و زمان، افزایش نانوکاتالیست و کاهش افزایش  $\text{H}_2\text{O}_2$ ، افزایش نانوکاتالیست و کاهش مقدار آلائیند، افزایش زمان و کاهش  $\text{H}_2\text{O}_2$  و افزایش زمان و کاهش مقدار آلائیند است.

نتیجه‌های تغییرها در بازده تخریب با حجم‌های متفاوت  $\text{H}_2\text{O}_2$  در شکل b-۸ نشان داده شده است. مشاهده می‌شود که با افزایش مقدار  $\text{H}_2\text{O}_2$  از ۲ به ۲.۵ mmol/l، بازده تخریب به طور تقریبی در حدود ۵۶٪ ثابت است. در حالی که با افزایش مقدار  $\text{H}_2\text{O}_2$  به ۳ mmol/l، بازده تخریب به آرامی از حدود ۵۶٪ به ۴۶٪ کاهش پیدا می‌کند.  $\text{H}_2\text{O}_2$  می‌تواند با مکان‌های فعال بر سطح کاتالیست واکنش نشان دهد [۳۶]. بنابراین، حضور اکسیدان در گستره ۲ تا ۲.۵ mmol/l می‌تواند موجب تخریب فورازولیدون شود، در حالی که با افزایش مقدار  $\text{H}_2\text{O}_2$  رادیکال‌های  $\text{OH}^{\cdot}$  و بدنبال آن pH محیط افزایش می‌یابد و موجب می‌شود تا قدرت اکسایش رادیکال‌های هیدروکسیل کاهش یابد که موجب کاهش تخریب فورازولیدون می‌شود. از سوی دیگر، افزایش مقدار آلائیند برپایه شکل ۸، بازده تخریب را کاهش داده است، چون با افزایش مقدار آلائیند



شکل ۹ نمودارهای تعامل عامل‌ها و رابطه آن‌ها با بازده تخریب

جدول ۵ شرایط بهینه عامل‌های مورد مطالعه در تجزیه آلانیند  
فورازوپیدون

زمان (دقیقه)	H <sub>2</sub> O <sub>2</sub> (mmol/l)	کاتالیست (g/l)	آلانیند فورازوپیدون (mg/l)	RE (%)
۵۰	۲.۰۱	۱.۹۹	۳۹.۹۷	۸۸.۰۸

شرایط بهینه به دست آمده از نرم افزار Design-Expert ۷ برای هر یک از عامل‌ها در جدول ۵ آورده شده و برای پیش‌بینی بازده تخریب بر حسب عامل‌های واقعی، معادله ۲۰ ارائه شده است.

SEM، پیش و پس از فرایند لایه‌برداری انجام شد. مقایسه تصویرهای SEM در پیش و پس از فرایند لایه‌برداری به خوبی تشکیل لایه‌های پراکنده را نشان داد. نانوساختارهای تهیه شده تحت فرایند فتوفتون ناهمگن مبتنی بر نور مرئی با روش سطح پاسخ RSM (چندسازه مرکزی) بر عامل‌های زمان (دقیقه)، مقدار کاتالیست ( $\text{H}_2\text{O}_2$  /l)، مقدار  $\text{H}_2\text{O}_2$  (mmol/l) و مقدار آلاینده (mg/l) بهینه شدند و مقادیر بهینه به عنوان زمان برابر با ۵۰ دقیقه، مقدار کاتالیست برابر با ۱/۹۹ گرم بر لیتر، مقدار آلاینده فورازولیدون برابر با ۳۹/۹۷ میلی گرم بر لیتر و مقدار اکسیدان برابر با ۲/۰۱ میلی مول بر لیتر با بازده تخریب ۸۷/۰٪ به دست آمد. بنابراین، در کل می‌توان نتیجه گرفت روش لایه‌برداری فیزیکی در فاز مایع در حضور امواج فراصوت و حلال آلی دی‌متیل‌فرامید روشی غیرتخریبی، سبز و ارزان برای تولید نانوساختارهای ایلمنن- همانن در سطح وسیع به حساب می‌آید و کارایی آن برای حذف آلاینده فورازولیدون در فرایند فتوفتون ناهمگن در حضور نور مرئی موفقیت آمیز بود. روش پیشنهادی در این کار پژوهشی می‌تواند به عنوان روشی بالقوه با کارایی زیاد برای تولید انبوه سایر مواد دو بعدی از مواد اولیه آن‌ها به کار گرفته شود [۳۷].

### سپاسگزاری

نویسنده‌گان مقاله از معاونت پژوهشی دانشگاه فرهنگیان برای حمایت مالی از این طرح پژوهشی (۳۰/۱۰۰، ۱۸/۲/۱۴۰۰) و پردیس فاطمه‌الزهرا (س) تبریز که زمینه اجرای این پژوهش را فراهم کردند، سپاسگزارند.

$$\begin{aligned} \text{RE} = & 54.10 - 5.15 \text{ A} + 9.92 \text{ B} + 8.36 \text{ C} \\ & - 9.83 \text{ D} - 2.05 \text{ AB} - 2.74 \text{ AC} - 4.26 \text{ AD} \\ & - 1.28 \text{ BC} + 4.49 \text{ BD} + 4.72 \text{ CD} - 3.31 \text{ A}^2 \\ & + 2.03 \text{ B}^2 + 1.40 \text{ C}^2 + 3.90 \text{ D}^2 \end{aligned} \quad (20)$$

### نتیجه‌گیری

در کار پژوهشی حاضر برای نخستین بار از کانی طبیعی ایلمنیت در حضور امواج فراصوت و حلال دی‌متیل‌فرامید اقدام به تهیه نانوساختارهای ایلمنن- همانن شد و تخریب آلاینده دارویی فورازولیدون تحت سامانه‌های متفاوت اکسایش مطالعه شد. امواج فراصوت موجب شکستن نیروهای بین لایه‌ای و جداشدن لایه‌ها شد و حضور حلال دی‌متیل‌فرامید در این فرایند کمک مناسبی به جداسازی و عدم انباستگی دوباره آن‌ها کرد. نتیجه‌های DRS نشان داد که فاصله نوار ایلمنیت طبیعی از ۳/۵ به ۲/۲ الکترون ولت در نانوساختار تهیه شده پس از لایه‌برداری کاهش یافت، که یکی از دلایل افزایش فعالیت کاتالیستی تحت نور مرئی در فرایند فتوفتون ناهمگن بود. ۹۵/۵٪ از بازده تخریب برای فورازولیدون در فرایند ناهمگن فتوفتون مبتنی بر نور مرئی به دست آمد که بالاتر از سایر سامانه‌های یادشده در این مطالعه بود. بررسی پراش پرتو ایکس به خوبی نشان داد که این فرایند موجب تخریب حالت بلوری نمونه اولیه نشد و پودر به دست آمده از فرایند لایه‌برداری حالت بلوری خود را حفظ کرد. با توجه به طیف FTIR هیچ‌گونه تغییری در ساختار شیمیایی مشاهده نشد. برای اثبات تولید نانو صفحه‌های لایه‌ای، ریخت‌شناسی نمونه با تصویرهای

### مراجع

- [1] Neyens, E.; Baeyens, J.; Journal of Hazardous Materials 98, 33-50, 2003.
- [2] Gotvajn, A.Z.; Konean, Z.J.; Research Chemistry 40, 463-474, 2005.
- [3] Carriazo, J.; Guelou, E.; Barrault, J.; Tatibouet, J.M.; Molina, R.; Moreno, S.; Catalysis Today 107, 126-132, 2005.
- [4] Soon, A.N.; Hameed, B.H.; Desalination 269, 1-16, 2011.

- [5] Liu, C.J.; Vissokov, G.P.; Jang, B.W.L.; Catalysis Today 72 173-184, 2002.
- [6] Sun, J.H.; Shi, S.H.; Lee, Y.F.; Sun, S.P.; Chemical Engineering Journal 155, 680-683, 2009.
- [7] Ghanbari, H.; Shafikhani, M.A.; Daryalaal, M.; Ceram. Int. 45, 20051-20057, 2019.
- [8] Masoumi, Z.; Tayebi, M.; Lee, B.K.; Ultrasonics sonochemistry 72, 105403, 2021.
- [9] Nicolosi, V.; Chhowalla, M.; Kanatzidis, M.G.; Strano, M.S.; Coleman, J.N.; Science 340, 1226419-18, 2013.
- [10] Tyurnina, A.V.; Tzanakis, I.; Morton, J.; Mi, J.; Porfyrakis, K.; Maciejewska, B.M.; Grobert, N.; Eskin, D. G.; Carbon 168, 737-747, 2020.
- [11] Zhou, Z.; Li, L.; Liu, X.; Lei, H.; Wang, W.; Yang, Y.; Wang, J.; Cao, Y.; Journal of Molecular Liquids 324, 115116, 2021.
- [12] Munonde, T.S.; Zheng, H.; Nomngongo, P.N.; Ultrason. Sonochem. 59, 104716, 2019.
- [13] Hu, X.Z.; Xu, Y.; Yediler, A.; Journal of Agricultural and Food Chemistry 55, 1144-1149, 2007.
- [14] Ali, B.H.; General Pharmacology: The Vascular System 20, 557-563, 1989.
- [15] Babulal, S.M.; Chen, T.W.; Chen, S.M.; Al-Onazi, W.A.; Al-Mohaimeed, A.M.; Catalysts 11, 1397, 2021.
- [16] Timperio, A.M.; Kuiper, H.A.; Zolla, L.; Xenobiotica 33, 153-167, 2003.
- [17] Aronson, J.K.; "Furazolidone, in Meyler's Side Effects of Drugs", Sixteenth Edition, Elsevier, Oxford, 465, 2016.
- [18] Zolfaghari, R.; Rezai, B.; Bahri, Z.; Mahmoudian, M.; Journal of Sustainable Metallurgy 6, 643-658, 2020.
- [19] Parapari, P.S.; Irannajad, M.; Mehdilo, A.; Minerals Engineering 92, 160- 167, 2016.
- [20] García-Muñoz, P.; Pliegoa, G.; Zazoa, J.A.; Bahamonde, A.; Casas, J.A.; Journal of Environmental Chemical Engineering 4, 542-548, 2016.
- [21] Gao, B.; Yang, C.; Chen, J.; Ma, Y.; Xie, J.; Zhang, H.; Wei, L.; Li, Q.; Du, J.; Xu, Q.; RSC Advances 7, 54594-54602, 2017.
- [22] Thistlethwaite, P.J.; Hook, M.S.; Langmuir 16, 4993-4998, 2000.
- [23] Peck, A.S.; Raby, L.H.; Wadsworth, M.E.; AIME 235, 301-307, 1966.
- [24] Prakash, S., Das, B.; Mohanty, J.K.; Venugopal, R.; International Journal of Mineral Processing 57, 87-103, 1999.
- [25] Wang, Y.H.; Yu, F.S.; Journal of China University of Mining and Technology 17, 35-39, 2007.
- [26] Zhu, Y.-G.; Zhang, G.-F.; Feng, Q.-M.; Yan, D.-C.; Wang, W.-Q.; Transactions of Nonferrous Metals Society of China 21, 1149-1154. 2011.
- [27] Ghamami, Sh.; Kazemi, A.; Bagheri, N.; Journal of Applied Chemistry 55, 189-206, 2019.
- [28] Yao, Z.-M.; Li, Z.-H.; Zhang, Y.; J. Colloid Interface Sci. 266, 382-389, 2003.
- [29] Chen, Y.H.; Synthesis 357, 136-139, 2011.
- [30] Kasiri, M.B.; Aleboyeh, H.; Aleboyeh, A.; Applied Catalysis B: Environmental 84, 9-15, 2008.
- [31] Tekbaş, M.; Yatmaz, H.C.; Bektaş, N.; Microporous and Mesoporous Materials 115, 594-602, 2008.
- [32] Chen, A.; Ma, X.; Sun, H.; Journal of Hazardous Materials 156, 568-575, 2008.
- [33] Lam, F.L.Y.; Hu, X.; Catalysis Communications 8, 2125-2129, 2007.
- [34] Neamțu, M.; Zaharia, C.; Catrinescu, C.; Yediler, A.; Macoveanu, M.; Kettrup, A.; Applied Catalysis B: Environmental 48, 287-294, 2004.
- [35] Liu, Ch.-J.; Zou, J.; Yu, K.; Cheng, D.; Han, Y.; Zhan, J.; Ratanatawanate Ch.; Jang B.W.-L.; Pure and Applied Chemistry 78, 1227-1238, 2006.
- [36] Liu, Y.; Wang, X.; Sun, Q.; Yuan, M.; Sun, Zh.; Xia, S.; Zhao, J.; Journal of Hazardous Materials 424, 127387, 2022.
- [37] Gu, X.; Zhao, Y.; Sun, K.; Vieira, C.L.Z.; Jia, Z.; Cui, C.; Wang, Z.; Walsh, A.; Huang, S.; Sonochem 58, 104630, 2019.

## Nanostructures prepared from natural ilmenite mineral for rapid degradation of furazolidone in heterogeneous Fenton process

H. Haghigat<sup>1,\*</sup>, M. Fathinia<sup>1</sup>, S. Fathinia<sup>2</sup>

1. Assistant Professor of Department of Chemistry, Farhangian University, Tehran, Iran.

2. PhD Student of Mining and Metallurgical Engineering, Amirkabir University of Technology, Tehran, Iran.

**Abstract:** In this study, for the first time, ilmenen-hematon nanostructures were prepared from natural ilmenite mineral by the exfoliation process in the presence of ultrasound wave for rapid degradation of furazolidone contaminant. The aim of the present study was to increase the reduction efficiency of iron (II) in the heterogeneous Fenton process by preparing ilmenn-Hematon nanostructures from its natural mineral. The effect of organic solvents such as dimethylformamide, N-methyl-2-pyrrolidine, isopropyl, and toluene to produce relevant nanostructures during the exfoliation process in the presence of ultrasound waves and as well as the effect of the obtained nanocatalyst in the heterogeneous Fenton process to degrade the pharmaceutical pollutant furazolidone, were investigated. The obtained results showed that the exfoliation process in the liquid phase by ultrasound wave in the presence of dimethylformamide solvent was successful and the band gap is reduced from 3.57 eV in the natural mineral ilmenite to 2.2 eV in the prepared nanocatalyst from it. The ability to absorb light and the degradation efficiency of furazolidone drug under visible light increased and after 60 minutes reached to a maximum of 95.5%. Optimal values of effective parameters for furazolidone degradation were modeled by experimental design using the response surface method (RSM) and Design-Expert7 software. The physical and chemical characteristics of the prepared nanocatalyst were analyzed by X-ray diffraction (XRD), scanning electron microscopy (SEM), energy dispersive spectroscopy (EDS), dot mapping, Fourier transform infrared spectroscopy (FTIR), X-ray fluorescence spectroscopy (XRF), Brunauer–Emmett–Teller (BET), and Diffuse reflection spectroscopy (DRS) methods and the reproducibility of the prepared nanocatalyst was investigated during 6 cycles of the process. Also, the characteristics of the catalyst used in the reproducibility cycle were studied using XRD and FTIR techniques.

**Keywords:** Exfoliation process, Ultrasound wave, Heterogeneous Fenton process, Ilmenite natural mineral, Furazolidone

\* Corresponding author Email:

h.haghigat@cfu.ac.ir

Journal of Applied Research in Chemistry